

CORRIGÉ DS (2) (2022)

EXERCICE 1 :

Q36) tension continue aux bornes d'un condensateur $\Rightarrow V_C(0^-) = V_C(0^+) = 0V$
et $V_S(0) = +V_{sat}$.

A.C. idéal $\Rightarrow \dot{i} = 0A \Rightarrow R_{eq}C$ en série

$$\Rightarrow i(t) = C \frac{dV_C}{dt} = \dot{V}_C(t) = \frac{V_S(t) - V_C(t)}{R}$$

$$\Rightarrow \left(RC \frac{dV_C}{dt} + V_C = +V_S = +V_{sat} \right) \text{ pour le moment.}$$

Q37) \Rightarrow avec la condition initiale : $V_C(0) = 0V$
on obtient : $\boxed{V_C(t) = +V_{sat}(1 - e^{-\frac{t}{RC}})}$

à t_1 il y aura basculement, or calculons ça bien pour la tension différentielle passant par 0 pour devenir ensuite négative et V_S passant à $-V_{sat}$.

L'instant t_1 vérifie donc : $V_+(t_1) = V_-(t_1)$

$$\text{Par définition : } V_+(t_1) = \frac{R_1}{R_1+R_2} V_{sat}$$

$$\text{et donc : } V_{sat}(1 - e^{-\frac{t_1}{RC}}) = \frac{R_1}{R_1+R_2} V_{sat}$$

$$1 - e^{-\frac{t_1}{RC}} = 1 - \frac{R_2}{R_1+R_2}$$

$$\Rightarrow e^{-\frac{t_1}{RC}} = \frac{R_2}{R_1+R_2}$$

$$\Rightarrow t_1 = RC \ln \left(\frac{R_1+R_2}{R_2} \right)$$

Q38) Après t_1 , le condensateur va désormais charger sous $-V_{sat}$ à travers la résistance R et $V_C(t)$ évoluera donc de façon monotone exponentielle de $\frac{R_1}{R_1+R_2} V_{sat} \rightarrow -V_{sat}$

\Rightarrow décroissance.

Q39)

On remarque (encore 1 fois) que le condensateur est en série avec R . La loi de l'enroulement donne :

$$V_C + RC \frac{dV_C}{dt} = -V_{sat}$$

$$\Rightarrow V_C(t) = K e^{-\frac{t}{RC}} + k'$$

$k' = -V_{sat}$ (puisque il s'agit de la valeur que prendra V_C au bout d'un temps "infini").

$$\text{et en } t = t_1 \Rightarrow V_C(t_1) = \frac{R_1}{R_1+R_2} V_{sat}$$

$$\frac{R_1}{R_1+R_2} V_{sat} = k e^{-\frac{t_1}{RC}} - \frac{k}{\frac{R_2}{R_1+R_2}}$$

$$\left(\frac{R_1}{R_1+R_2} + \frac{R_1+R_2}{R_2} \right) V_{sat} = k \frac{R_2}{R_1+R_2}$$

$$\Rightarrow k = \frac{2R_1+R_2}{R_2} V_{sat}$$

$$\Rightarrow V_C(t) = \left(\frac{2R_1+R_2}{R_2} \right) V_{sat} e^{-\frac{t}{RC}} - V_{sat}. \quad (t > t_1)$$

qui donne l'instant de la seconde bascule de V_S :

$$\frac{R_1}{R_1+R_2} V_{sat} = V_C(t_2) = -V_{sat} + \left(\frac{2R_1+R_2}{R_2} \right) V_{sat} e^{-\frac{t_2}{RC}}$$

$$\frac{R_1}{R_1+R_2} V_{sat} = \frac{2R_1+R_2}{R_2} V_{sat} e^{-\frac{t_2}{RC}}$$

$$\frac{R_1}{(R_1+R_2)(2R_1+R_2)} = e^{-\frac{t_2}{RC}}$$

$$t_2 = RC \ln \left(\frac{2R_1+R_2}{R_1} \right) + RC \ln \left(\frac{2R_1+R_2}{R_2} \right)$$

Q41) Par symétrie des valeurs de basculement et des équations diff dans les deux phases : $\frac{T}{2} = t_2 - t_1$
(et de $\pm V_{sat}$).

ce qui donne : $\frac{I}{2} = R C \ln \left(\frac{2R_1 + R_2}{R_2} \right)$

et la période de : $T = 2 R C \ln \left(\frac{2R_1 + R_2}{R_2} \right)$

Q42) $V_{SAT} \approx 13,5 \text{ V}$ (lecture de saturation
ensemble symétrique sur FD)

le rapport $\frac{R_2}{R_1}$ peut être obtenu par les valeurs de
basculement : $V_{BASC} \approx 7 \text{ V}$

$$\text{et } \begin{aligned} & V_{BASC} = \left(\frac{R_1}{R_1 + R_2} \right) V_{SAT} \Rightarrow \frac{R_1}{R_1 + R_2} \approx \frac{7}{13,5}. \\ & 1 + \frac{R_2}{R_1} \approx 1 + \frac{6,5}{7} \end{aligned}$$

$$\frac{R_2}{R_1} \approx \frac{6,5}{7} \approx 1 ? (0,95?)$$

On mène alors : $T \approx 7,5 - (1,71) = 25 \mu\text{s}$.

$$RC = \frac{T/2}{\ln(1 + \frac{2R_1}{R_2})} = \frac{12,5}{\ln(1 + \frac{14}{6,5})} \mu\text{s}.$$

On nous dit que $\ln(2) \approx \ln(1,72) \approx \ln(e) = 1$.
or $\alpha \approx 1 + \frac{14}{6,5} = \frac{20,5}{6,5} \approx 3,1 (> 3 !)$.

donc leur proposition d'approx est inadéquate

bref, $RC \approx \frac{17,5}{\ln(1,72)} = 12,5 \mu\text{s}$.

Q43) le Slow-Rate qui peut limiter les variations temporelles
de tension à moins de $1 \text{ V}/\mu\text{s}$.

Q44) On voit sur la F8 que nos sur limite à $27 \text{ V}/$
 $3 \mu\text{s} \approx 9 \text{ V}/\mu\text{s}$. → c'est typique
d'un AUI TL081

CII] Oscillateur quasi-sinusoidal

CII.1] Etude du filtre

Q45) En rassemblant les 3 dipôles en // :

$$Z_{eq2} = \frac{1}{\frac{1}{j\omega} + \frac{1}{R} + j\omega}$$

=> division de tension (nous risquons que ce quadripôle
soit "à vide" c'est à dire ne débité aucun courant).

$$\underline{H_F(j\omega)} = \frac{\underline{Z_{eq2}}}{\underline{Z_{eq2} + R_o}} = \frac{1}{1 + \frac{R_o}{Z_{eq2}}}$$

$$\underline{H_F(j\omega)} = \frac{1}{1 + R_o \left(\frac{1}{R} + \frac{1}{j\omega} + j\omega \right)}$$

$$\underline{H_F(j\omega)} = \frac{1}{\left(1 + \frac{R_o}{R} \right) + j \left(\frac{R_o}{L\omega} + R_o\omega \right)}$$

$$\underline{H_F(j\omega)} = \frac{\frac{R}{R+R_o}}{1 + j \frac{R_o}{R+R_o} \left(\omega - \frac{1}{L\omega} \right)}$$

$$\underline{H_F(j\omega)} = \frac{\frac{R}{R+R_o}}{1 + j \frac{R_o}{R+R_o} \sqrt{\frac{C}{L}} \left(\sqrt{LC}\omega - \frac{1}{\sqrt{LC}\omega} \right)}$$

Par identification des constantes ω et ω_0 :

$$\boxed{H_0 = \frac{R}{R+R_o}} \quad \boxed{\omega_0 = \frac{1}{\sqrt{LC}}} \Rightarrow \alpha = \frac{\omega}{\omega_0}$$

$$\text{et } \boxed{Q_F = \frac{R_o}{R+R_o} \sqrt{\frac{C}{L}}} \quad \boxed{f_0 = \frac{1}{2\pi\sqrt{LC}}}$$

Q46] Comme $Q_F = \frac{f_0}{Df} \Rightarrow Df = \frac{f_0}{Q_F} = \frac{1}{2\pi\sqrt{LC}}$
 (si $Df \rightarrow \text{BP à } -3\text{dB}$)

$$H_0 \approx 0,2 \quad f_0 \approx 1000\text{Hz} \quad Q_F \approx 3.$$

CTI.3] Étude des oscillations.

$\boxed{F=0} \rightarrow$ fermeture de l'interrupteur.
 Il y a $Q=0$ dans le condensateur.

Q51] Attention le montage autour de U1 n'est pas un montage amplificateur non-inverseur de gain $\frac{R_1+R_2}{R_1}$
 Ainsi : $V_3(t) = \frac{R_1+R_2}{R_1} V_2(t)$

Et en notations complexes : $\frac{V_2(t)}{V_3(t)} = \frac{H_0}{1+jQ_F(\frac{\omega}{\omega_0} - \frac{\omega_0}{\omega})}$

Ainsi avec $\underline{V_2}(t) = \underline{V_3}(t)$:

$$H_0 \underline{V_3}(t) = \frac{R_1}{R_1+R_2} \left(1 + jQ_F \left(\frac{\omega}{\omega_0} - \frac{\omega_0}{\omega} \right) \right) \underline{V_3}(t)$$

$$\left(\frac{R_2+R_1}{R_1} H_0 \right) j\omega \underline{V_3}(t) = j\omega \underline{V_3}(t) + \frac{Q_F}{\omega_0} \left(j\omega \right)^2 \underline{V_3}(t) + Q_F \omega_0 \underline{V_3}(t).$$

qui correspond à l'équation différentielle :

$$\frac{Q_F}{\omega_0} \frac{d^2 \underline{V_3}}{dt^2} + \left(1 - \left(\frac{R_2+R_1}{R_1} H_0 \right) \right) \frac{d \underline{V_3}}{dt} + Q_F \omega_0 \underline{V_3}(t) = 0$$

on trouve :
$$\frac{d^2 \underline{V_3}}{dt^2} + \left[\left(1 - \left(\frac{R_2+R_1}{R_1} H_0 \right) \right) \frac{\omega_0}{Q_F} \right] \frac{d \underline{V_3}}{dt} + \omega_0^2 \underline{V_3}(t) = 0$$

$$H_1 = \frac{R_1+R_2}{R_1}$$

Q52] Donc les oscillations peuvent exister si $(1 - H_1 H_0) < 0$
 (instabilité).

Q54] $f_1 = f_0$ si Q_F élevé ou si $H_1 \gtrsim \frac{1}{H_0}$.

Q55] Si H_1 est "trop grand" (?) que j'interprète comme H_1 trop supérieur à $\frac{1}{H_0}$
 (et si Q_F pas trop élevé)

alors le temps caractéristique de la montée exponentielle devient court

\rightarrow montée rapide dans la zone de fonctionnement non linéaire de l'ALU1

Exercice (2) : Géothermie domestique

$$\lambda = 0,15 \text{ W.m}^{-1}\text{K}^{-1}$$

$$\rho = 1500 \text{ kg/m}^3$$

$$C = 1000 \text{ J.g}^{-1}\text{K}^{-1}$$

1.1] Bilan sur 1 tranche de section plane S placée entre z et $z+dz$ (d énergie interne d'agitation thermique δU ou bien d'enthalpie δH (ce qui revient au même pour le solide)).

$$\frac{\delta U}{\delta t} = \phi(z) - \phi_{th}(z+dz) + O$$

capacité thermique de la tranche.

pas de production dans la tranche

$$\frac{\delta (\rho c dz T)}{\delta t} = j_{H1}(z) \times S - j_{H1}(z+dz) \times S$$

avec $dz = S dz$ (volume de la tranchette)

alors :

$$\rho c S \frac{\partial T}{\partial z} = - \left[\frac{1}{2} \left(\frac{\partial T}{\partial z} \right)_z - \frac{1}{2} \left(\frac{\partial^2 T}{\partial z^2} \right)_{z+\delta z} \right] S$$

avec la
loi de Fourier
en dimensionnelle.

$$\rho c S \frac{\partial T}{\partial z} = \frac{1}{2} S \left(\frac{\partial^2 T}{\partial z^2} \right) dz.$$

on obtient bien :

$$① \quad \left[\rho c \frac{\partial T}{\partial t} = \frac{1}{2} \left(\frac{\partial^2 T}{\partial z^2} \right) dz \right] \text{ pour } z > 0.$$

1.2) $\omega_A = 2\pi$ radians/an correspond donc à l'phénomène sinusoïdal de période 1 an : on attribue a priori ce modèle à des variations saisonnieres (max en été et min en hiver).

$\omega_0 = 2\pi$ radians/jour correspondra aux variations approximées sinusoïdales de la température sur le cycle jour/nuit.

1.3) On propose donc : $T(z,t) = T_0 + \alpha c e^{-\frac{z}{S}} \cos(\omega t + \varphi - \frac{\pi}{8})$

On vérifie à quelle condition cette solution est compatible avec l'équation diff ①. On calcule les dérivées partielles :

$$\frac{\partial T}{\partial t} = -\alpha \omega e^{-\frac{z}{S}} \sin(\omega t + \varphi - \frac{\pi}{8}).$$

$$\frac{\partial T}{\partial z} = -\frac{\alpha}{S} e^{-\frac{z}{S}} \cos(\omega t + \varphi - \frac{\pi}{8}) + \frac{\alpha}{S} e^{-\frac{z}{S}} \sin(\omega t + \varphi - \frac{\pi}{8})$$

$$\begin{aligned} \frac{\partial^2 T}{\partial z^2} &= +\frac{\alpha}{S^2} e^{-\frac{z}{S}} \cos(\omega t + \varphi - \frac{\pi}{8}) - \frac{\alpha}{S^2} e^{-\frac{z}{S}} \sin(\omega t + \varphi - \frac{\pi}{8}) \\ &\quad - \frac{\alpha}{S^2} e^{-\frac{z}{S}} \sin(\omega t + \varphi - \frac{\pi}{8}) \\ &\quad - \frac{\alpha}{S^2} e^{-\frac{z}{S}} \cos(\omega t + \varphi - \frac{\pi}{8}) \\ &= -\frac{\alpha}{S^2} e^{-\frac{z}{S}} \cos(\omega t + \varphi - \frac{\pi}{8}) \end{aligned}$$

avec les 2 termes en cos qui s'annulent :

$$\frac{\partial^2 T}{\partial z^2} = -\frac{\alpha \omega}{S^2} e^{-\frac{z}{S}} \sin(\omega t + \varphi - \frac{\pi}{8})$$

l'équa diff ① implique pour cette proposition de solution :

$$-\frac{\alpha \omega}{S^2} = \left(\frac{\rho c}{\pi} \right) (-\alpha \omega)$$

qui donne après simplification par $-\alpha \omega$:

$$\frac{S}{(\omega)} = \sqrt{\left(\frac{1}{\rho c} \right) \frac{2}{\pi}}$$

1.4) S a déjà la dimension d'un longeur.

On peut l'interpréter soit par son influence dans la partie exponentielle (rôle sur la diminution d'amplitude de la variation de température à la profondeur z) ou encore dans la partie sinusoïdale (rôle sur le déphasage entre les variations sinusoïdales de température en surface et à la profondeur z).

En choisissant la première interprétation, on peut dire qu'en $z = S$ l'amplitude des variations est diminuée par $\approx 2,7\%$ on envoie qu'à 2 profondeurs de 58 elle est divisée par $e^5 \approx 150$! (les fluctuations de températures deviennent extrêmement faibles \Rightarrow variation de 10°C en surface ($z=0$) devient $\frac{10}{150} \approx 0,07^\circ\text{C}$!)

$$\begin{aligned} 1.6) \quad S(\omega_0) &\approx \sqrt{\frac{2 \times 0,33 \cdot 10^{-6}}{7 \cdot 10^{-5}}} \\ &\approx \sqrt{\frac{20}{21} \frac{10^{-2}}{10^{-5}}} \\ &\approx \sqrt{\frac{20}{21}} \times 10^{-1} \text{ m} \approx 0,1 \text{ m} \quad (10 \text{ cm}) \end{aligned}$$

$$\left(\frac{1}{\rho c} = \frac{0,8}{1500 \times 1000} = 0,33 \cdot 10^{-6} \right)$$

$$\left(\frac{1}{\rho c} = \frac{0,8}{1500 \times 1000} = 0,33 \cdot 10^{-6} \right)$$

$$\delta(w_A) = \sqrt{\frac{2w}{3k^2w}} = \sqrt{\frac{10}{3}} \approx 1,8 \text{ m}$$

Commentaire : les "ondes" de variations de température seront ressenties à 1 profondeur + importante que les variations quotidiennes.

Par exemple à plus de 50cm de profondeur ($= 5\delta(w_0)$) les ondulations quotidiennes (Jour-Nuit) ne sont plus sensibles.

$$1.7) 5 = e^{+\gamma^*} \Rightarrow \ln 5 = \gamma^* \\ \delta(w_A).$$

$$\Rightarrow \gamma^* = 1,8 \times \ln 5 \approx 2,9 \text{ m} \text{ (avec } \ln 5 \approx 1,6\text{).}$$

Un abri sous-bois causera à + de 3m de profondeur dans ce sol ne ressent plus que les variations diurnes par 5.

Rq : Il serait intéressant de parler du déphasage (sur la pulsation annuelle donc).

$$\omega(t + \frac{1}{2} - \frac{\phi}{\omega}) \rightarrow \omega(t + \frac{1}{2} - 5 \text{ rad}).$$

(quasi opposition de phase ($2\pi \approx 6,3 \text{ rad}$)).

② Dimensionnement d'un puits canadien

2.1) Remover le l'air pour :

- chasser l'humidité
- chasser le CO pouvant être produit par le chauffage au gaz (risque à l'hémoglobine au lieu de O₂ \Rightarrow toxique et mortel.)
- renouveler la teneur de 20% de O₂ (qui diminue avec la respiration).

Renouvellement

\rightarrow Si l'air extérieur est froid \rightarrow on refroidit l'appartement.

$$\text{Si le débit volumétrique est } D_V = \frac{\delta V}{dt}$$

$$\text{la durée du renouvellement du volume } V = h \times S = 2 \times w_0 = 200 \text{ m}^3 \text{ est donc (à débit constant)} : \varepsilon = \frac{V}{D_V} = \frac{200}{50} = 4 \text{ h}$$

le puits canadien va donc à réchauffer l'air avant de l'envoyer dans le logement.

2.2) Si le puits était "infiniment" long alors l'air passerait de T_{ext} à T₀ \rightarrow température du sol à sa profondeur.

La puissance thermique gagnée est donc définie comme la différence entre puissance transportée par l'air en tant à T₀ et l'air en tant à T_{ext} (à même débit)

$$\Rightarrow 1 \text{ volume d'air ventilant à } T \text{ apporte entre } T_{ext} \text{ et } T_{0,ext} \\ 1 \text{ énergie d'agitation interne } \delta U = \rho c \delta V T \\ (\text{à } 2 \text{ constantes additionnelles} \\ \text{pas sans signification physique})$$

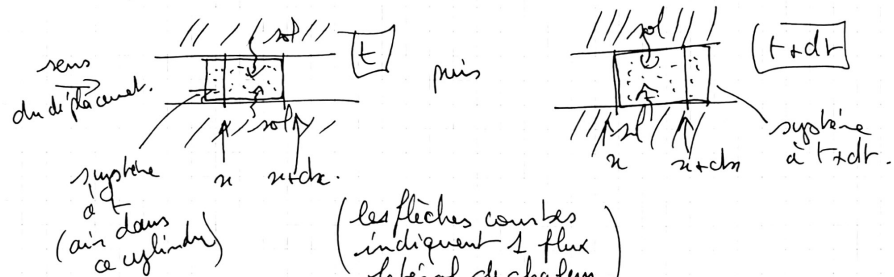
donc l'augmentation avec puits canadien infini sera de : $\rho c \delta V (T_{0,ext} - T_{ext})$ pendant dt

$$\text{de } \underbrace{\rho c \frac{\delta V}{dt} (T_{0,ext} - T_{ext})}_{D_V} = \Delta P_{th} \text{ avec} \\ \text{puits } \infty$$

$$\text{A.N : } \Delta P_{th} = 1,227 \times 1000 \times \frac{50}{300} (16) \approx 870 \text{ W}$$

Commentaire : le puits n'est pas ∞ il apportera moins donc si on veut éteindre un peu la température du logement ne baîsse pas, il faut que l'ensemble des fûts (air sortant + fûts) ne monte pas à 270 W. (sans chauffage) Tous choses étant égales par ailleurs, on peut également dire que l'on économise 870 W de chauffage.

2.3) Il s'agit bien sûr encore d'un bilan d'énergie. La différence réside dans le déplacement de l'air dans le puits. Commençons par 2 degrés à t puis t+dt :



$$\delta Q_L = h S (T_0 - T(x)) \text{ resu par ce système qui avance.}$$

$$\frac{d(SU)}{dt} = \frac{p_c(Svdt)T(x+dx) - p_c(Svdt)T(x)}{dt} \text{ Plan enthalpique.}$$

(Plan en RP la tranche entre x et x+dx n'a pas vu d'augmentation de son enthalpique)

$$\text{soit: } \pi R^2 p_c N \frac{dT}{dx} dx = h 2\pi R dx (T_0 - T(x)) \quad \text{III.} \\ \frac{d\theta}{dx} = - \frac{h}{\pi R^2 p_c N} \theta(x).$$

$$\text{alors: } \frac{d\theta}{dx} = - \frac{2\pi R h}{\pi R^2 p_c N} \theta(x)$$

$$\text{et donc } D_V = N \times \pi R^2$$

$$\frac{d\theta}{dx} = - \frac{2\pi R h}{D_V} \theta(x).$$

$$\text{donc la solution est bien: } \boxed{\theta(x) = \theta_i e^{-\frac{x}{D_V}} \text{ avec } K = \frac{2\pi R h}{D_V} \text{ et } \theta_i = \theta(x=0).}$$

2.4) $T_{\text{finale}} = 0,96 T_0$

(il faudra plus tard parler de l'écart de température entre l'entrée et la sortie telle que :

$$T_{\text{final}} - T_{\text{exit}} = 0,96 (T_0 - T_{\text{exit}}). \\ (\text{ce qui n'est pas le mème chose!}).$$

$$\text{donc } \theta_{\text{finale}} = -0,04 T_0.$$

$$\text{soit } -0,04 T_0 = (T_{\text{exit}} - T_0) e^{-KL}$$

avec L la longueur suffisante.

$$KL = \ln \left(\frac{T_{\text{exit}} - T_0}{-0,04 T_0} \right)$$

$$L = \frac{1}{K} \ln \left(\frac{T_0 - T_{\text{exit}}}{-0,04 T_0} \right) \quad \text{deuxième cours.}$$

$$\text{AN: } L = \frac{1}{0,1r} \ln \left(\frac{16}{0,04 \times 12} \right) \quad \begin{array}{l} (\text{donner la résultat}) \\ \text{et non } 12 \\ \text{en } ^\circ C \\ \text{ou en K} \end{array}$$

$$L = \frac{1}{0,1r} \ln \left(\frac{4}{0,04 \times 3} \right)$$

$$L = \frac{1}{0,1r} \ln \left(\frac{1}{0,03} \right) = \frac{3,18}{0,1r} \approx 25 \text{ m}$$

2.5] $D_V \propto K \propto L \propto$
plus on veut 1 D_V de renouvellement important plus il faudra 1 point long pour réchauffer.

mais on sait que K n'est pas constant ici!

$$h = 1,18 \frac{D_V^{0,8}}{R^{1,8}}$$

$$\text{donc: } K = \frac{2\pi R \times 1,18 \frac{D_V^{0,8}}{R^{1,8}}}{\ell \cdot c \cdot D_V} = \frac{2\pi \times 1,18}{\rho_c D_V^{0,8} R^0}$$

Ainsi nous observons qualitativement $\dot{L} \rightarrow$ de L mais bien moins que si l' était constant.

les échanges latéraux augmentent avec le D_V mais il n'y a plus d'an à rechauffer par seconde et c'est donc la deuxième "processus physique" qui l'emporte.

2.6] $R \rightarrow K \downarrow L \uparrow$

la surface d'échange augmente en R^1 mais la diminution en $R^{-1/8}$ (à D_V fixé) et donc le flux latéral diminue en $R^{-0,8}$.

Une diminution de R diminuerait la longueur du puits mais on ne la diminuera pas trop à cause des pertes de chaleur qui augmentent - (Nbr de coulées limitées).

EXERCICE 3 :

La transformation (détente de vapeur d'eau) est modélisée

*) adiabatique : "transfert thermique n'a pas le temps d'être quantifiable"

+

*) réversible : ("pertes négligeables" (ce qui suffit pas))

D'après le second principe de la thermodynamique :

$$dS = \frac{\delta Q}{T_{\text{réversible}}} + S_{\text{produite}}$$

ad'abatique $\Rightarrow \delta Q = 0 \Rightarrow dS = 0$ \Rightarrow transformation isentropique

Travaillons alors sur 1 kg de vapeur : $S_F = S_I$.

or $S_I = S_V(T_1)$ car on remarque que I est sur la courbe de vapeur à (T_1) (vapeur "juste" saturant).

$$\text{donc } S_F = S_V(T_1)$$

Appliquons alors le théorème des moments (ou revenons à son origine!). L'entropie est l'grandeur extensive et notre système diphase est la réunion de la phase liquide et de la phase vapeur donc :

$$S_F = (1 - x_{V_2}) S_L(T_2) + x_{V_2} S_V(T_2)$$

On en déduit :

$$S_V(T_2) = (1 - x_{V_2}) S_L(T_2) + x_{V_2} S_V(T_c)$$

$$\text{soit } x_{V_2} = \frac{S_V(T_2) - S_L(T_2)}{S_V(T_c) - S_L(T_2)}$$

$$\text{A.N : } x_{V_2} = \frac{6,35 - 1,30}{7,36 - 1,30} \approx 83\%$$

*) Rq : les "renseignements" sur les chaleurs latents de vaporisation sont en fait également dans le tableau.

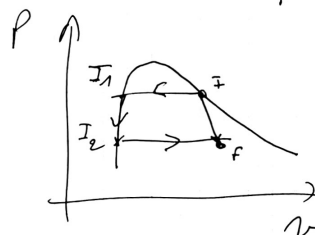
$$L(T_1) \equiv h_v(T_1) - h_l(T_1) = 2801 - 909 = 1892 \text{ kJ/kg}$$

$$L(T_2) \equiv h_v(T_2) - h_l(T_2) = 2676 - 418 = 2258 \text{ kJ/kg}$$

(on vérifie aussi la cohérence des valeurs données).

L'idée est d'exprimer la variation de la fonction d'état entropie sur 1 autre "chemin" thermodynamique ayant m. état initial et m. état final soit :

$$0 = S_F - S_I = (S_F - S_{I_2}) + (S_{I_2} - S_{I_1}) + (S_{I_1} - S_I)$$



$$\text{or } S_{I_2} - S_{I_1} = c \ln \left(\frac{T_2}{T_1} \right)$$

(donc dans l'énoncé !)
provenant de

$dS = -\frac{cdT}{T}$ pour 1 corps pur condensable, incompressible et incompressible)

$$\text{ensuite : } \Delta_{I_1} - \Delta_I = - (\Delta_{I_1} - \Delta_{I_2}) = - \left(\frac{\ln I_1 - \ln I_2}{T_1} \right)$$

qui donne :

$$\Delta_{I_1} - \Delta_I = - \frac{\ln(T_1)}{T_1}$$

et de I_2 à F, on a la vaporisation de x_{V_2} kg de liquide donc.

$$\Delta_F - \Delta_{I_2} = + x_{V_2} \frac{\ln(T_2)}{T_2}$$

qui donne au final :

$$0 = x_{V_2} \frac{\ln(T_2)}{T_2} + c \ln\left(\frac{T_2}{T_1}\right) - \frac{\ln(T_1)}{T_1}$$

$$\text{soit : } x_{V_2} = \frac{-c \ln\left(\frac{T_2}{T_1}\right) + \frac{\ln(T_1)}{T_1}}{\frac{\ln(T_2)}{T_2}}$$

$$x_{V_2} = \frac{-4,18 \times \ln\left(\frac{373}{485}\right)^{\frac{T_2}{T_1}} + \frac{1892}{485}}{\frac{2258}{373}}$$

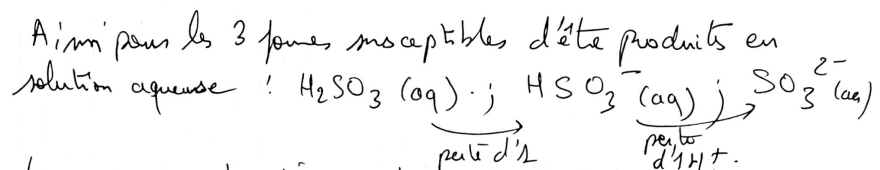
$$\text{A.N : } x_{V_2} \approx \frac{1,098 + 3,901}{6,054} \approx 83\% \quad (\text{cohérent})$$

Exercice (4) : Des ions sulfites en solution ?

A) les courbes du diagramme de distribution donnent à chaque pH le % des différentes espèces acides-base susceptibles d'être mis en jeu à partir des réactions avec l'eau.

(Il s'agit en fait de la version quantitative d'un diagramme de prédominance).

1°) plus le pH de la solution est faible, plus la forme acide est prédominante en solution aqueuse et inversement plus le pH est élevé plus cela favorise la présence de la forme la + basique -

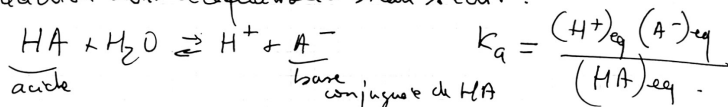


la première courbe démarre quantitativement de 100% à pH = 0 et le % de H_2SO_3 , la seconde en amplitude proche de 100% vers pH ≈ 6 ou 5

comme le % de HSO_3^-

et enfin la dernière (approchant les 100%) entre pH = 9 et pH = 14 concerne le % de SO_3^{2-} .

2°) Comme 1 constante d'acidité (K_a) concerne la réaction dont l'équation-bilan écrit :



$$\text{soit : } pK_a = \text{pH} - \log_{10} \frac{(\text{Base})}{(\text{Acide})}$$

$$\text{ou bien : } \text{pH} = pK_a + \log_{10} \frac{(\text{Base})}{(\text{Acide})}$$

$$\text{donc ici lorsque : } (\text{H}_2\text{SO}_3)_{\text{eq}} = (\text{HSO}_3^-)_{\text{eq}}$$

$$\Rightarrow \text{pH} = pK_{a_1}$$

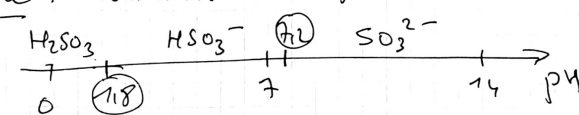
$$\text{ce qui intègre à pH} \approx 1,8 \quad \left(\frac{50\% \text{ H}_2\text{SO}_3}{50\% \text{ HS}O_3^-} \right)$$

$$\text{de m : } (\text{HSO}_3^-)_{\text{eq}} = (\text{SO}_3^{2-})_{\text{eq}}$$

$$\text{pour pH} = pK_{a_2} \approx 7,2 \quad \left(\frac{50\% \text{ de HS}O_3^-}{50\% \text{ de SO}_3^{2-}} \right)$$

$$\text{Ainsi : } pK_{a_1} \approx 1,8 \text{ et } pK_{a_2} \approx 7,2$$

3°) Construire ? Ton travail déjà !



D) Ne pas confondre la notion "prédominance" et "majorité" (étrangement) en chimie :

A^- est majoritaire sur HA si $[A^-] \geq 10[HA]$
et est minoritaire devant HA si $[A^-] \leq \frac{[HA]}{10}$

alors que :

A^- est prédominante sur HA si $[A^-] > [HA]$
 HA est prédominante sur HA si $[HA] > [A^-]$.

donc ici il n'est pas exact de s'intéresser aux limites
 $pK_{a_1} \pm 1$ ou $pK_{a_2} \pm 1$ correspondant à la notion
de majorité.

4°) $pH = 2,5$

$$\text{et } C_0 = 2 \cdot 10^{-3} = [H_2SO_3]_{\text{eq}} + [HSO_3^-]_{\text{eq}} + [SO_3^{2-}]_{\text{eq}}$$

à ce pH, HSO_3^- est prédominant presque majoritaire devant H_2SO_3 mais surtout SO_3^{2-} est ultraminyante devant les 2 autres formes en solution.

$$\text{Ainsi : } C_0 \approx [H_2SO_3]_{\text{eq}} + [HSO_3^-]_{\text{eq}}.$$

$$1 \approx \% H_2SO_3_{\text{eq}} + \% HSO_3^-_{\text{eq}}.$$

$$\text{et } K_{a_1} = 10^{-1,8} = \frac{10^{-2,1}r [HSO_3^-]_{\text{eq}}}{[H_2SO_3]_{\text{eq}}}.$$

$$\Rightarrow \frac{\% HSO_3^-_{\text{eq}}}{\% H_2SO_3_{\text{eq}}} = \frac{10^{-1,8}}{10^{-2,1}r} = 10^{0,3} = 5$$

$$\text{ainsi: } 5 \times \% H_2SO_3 + \% H_2SO_3 = 1$$

$$\Rightarrow \% H_2SO_3 \approx 0,17 = 17\%$$

$$\text{et \% } HSO_3^- \approx 83\%$$

$$\text{100%: } [H_2SO_3]_{\text{eq}} \approx 3,4 \cdot 10^{-4} \text{ mol/l } [HSO_3^-] \approx 17 \cdot 10^{-4} \text{ mol/l}$$

On pouvait (devrait) obtenir les % par lecture

$$\text{appr.: } \% H_2SO_3 \approx 15\%$$

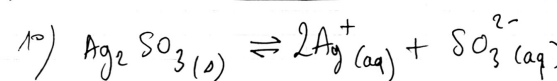
$$\% HSO_3^- \approx 85\%.$$

Pour obtenir la concentration de l'espèce SO_3^{2-} ultraminyante
à $pH = 2,5$ on utilise le K_{a_2} .

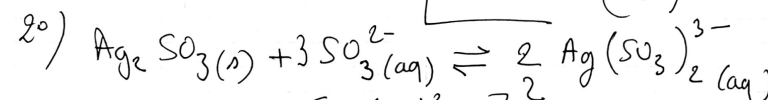
$$10^{-7,2} = \frac{10^{-2,1}r \cdot [SO_3^{2-}]_{\text{eq}}}{[HSO_3^-]_{\text{eq}}}.$$

$$\Rightarrow [SO_3^{2-}]_{\text{eq}} \approx 10^{-4,7} [HSO_3^-]_{\text{eq}} \\ \approx 1,7 \cdot 10^{-3} \times 10^{-4,2} \\ \approx 34 \cdot 10^{-9} \text{ mol/l.}$$

PARTIE B: Solubilité de ions sulfite en présence de Ag^+ (aq)



$$\text{de constante d'équilibre: } K_S = \frac{[Ag^+]^2 [SO_3^{2-}](aq)}{(C^0)^3} = 10^{-12,8}$$



$$k' = \frac{[Ag(SO_3)_2^{3-}]_{(aq)}}{[SO_3^{2-}](aq)^3} \times C^0 = 10^{31}$$

3°) pour les très faibles concentrations ($\log [SO_3^{2-}] < -12$)

\rightarrow constante malgré l'ajout de SO_3^{2-} ce qui signifie que la quantité d'argent dans le solide cristallin $Ag_2SO_3(s)$ ne varie pas non plus (somme des 3 formes = cte) (à l'effet de dilution près!).

donc soit le précipité n'a pas présenté, soit sa quantité ne varie pas. Comme l'énoncé précise que l'ion $\text{Ag}(\text{SO}_3)_2^{3-}$ n'apparaît qu'en présence d'un excès de SO_3^{2-} (c.-à-d relativement à la précipitation), on conclut que tout Ag reste en fait sous forme Ag^+ malgré l'augmentation (en faible quantité) de SO_3^{2-} $\Rightarrow s = \frac{1}{2} [\text{Ag}^+] = \frac{1}{2} 10^{-1} = 5 \cdot 10^{-2}$

$$\text{or } \log(5 \cdot 10^{-2}) = -1,3$$

qui correspond peu au proche à la valeur true.

La diminution de la solubilité commence à $\log[\text{SO}_3^{2-}] \approx -11,8$ jusqu'à $-6,1$ environ. Cet état fini le précipité a commencé à se faire (sans que $\text{Ag}(\text{SO}_3)_2^{3-}$ n'existe vraiment en une faible quantité non négligeable), ce qui explique la diminution de la solubilité par la diminution de $[\text{Ag}^+]$ lorsque $\text{Ag}_2\text{SO}_3(s)$ se forme.

Ensuite la solubilité réaugmente car le précipité commence à être consommé pour fabriquer l'ion $\text{Ag}(\text{SO}_3)_2^{3-}$ jusqu'à $\log[\text{SO}_3^{2-}] \approx -1,8$ où la solubilité ne change plus.

Il n'y a alors plus de solide et la grande majorité des ions argent sont cette fois sous la forme $\text{Ag}(\text{SO}_3)_2^{3-}$.

4°) Si on nous dit qu'un précipité blanc se forme !
On confirme en calculant : $\left(\frac{10^{-7}}{10^{-2}}\right) \times (0,1)^2 = 10^{-7} \gg 10^{-13,8}$
 \uparrow $[\text{Ag}^+]_{\text{initiale}}$, k_s

$[\text{SO}_3^{2-}]_{\text{initiale}}$

donc la grande majorité des ions sulfite ajoutés a été précipitée
 $\Rightarrow [\text{Ag}^+]_{\text{eq}} \approx 0,1 \text{ mol/l}$.

$$[\text{SO}_3^{2-}]_{\text{eq}} = \frac{k_s}{[\text{Ag}^+]^2} = \frac{10^{-13,8}}{10^{-2}} = 1,6 \cdot 10^{-12} \text{ mol/l}$$

La quantité de précipité formé est donc la même que la quantité de SO_3^{2-} consommé (stochiométrie de réaction de précipitation). Soit 10^{-7} mol ($10^{-7} - 10^{-12} \approx 10^{-7}$)

$$5°) \text{ On utilise la } K' = \frac{[\text{Ag}(\text{SO}_3)_2^{3-}]_{\text{eq}}^2}{[\text{SO}_3^{2-}]_{\text{eq}}^3} \times C^0 = 10^{3,6}$$

$$\Rightarrow [\text{Ag}(\text{SO}_3)_2^{3-}]_{\text{eq}} = \sqrt{10^{3,6} \times (10^{-11,8})^3} \\ = \sqrt{10^{3,6} \times 10^{-35,4}} \\ = \sqrt{10^{-31,8}} \\ \approx 10^{-16} \text{ mol/l} < [\text{SO}_3^{2-}]$$

Quantité correspondante
négligeable

\Rightarrow On pouvait donc bien ignorer la redissolution (quantitativement).

⚠ En chimie, il n'existe qu'une solution (quantités à l'éq final à partir des quantités initiales)
donc lorsque l'on trouve des valeurs cohérentes avec les hypothèses : c'est la bonne solution !

autrement dit

\hookrightarrow (de mauvaises hypothèses entraînent nécessairement des incohérences !)

